Электронная http://e.biblio.

ГОСУДАРСТВЕННОЕ УЧРЕЖДЕНИЕ ВЫСШЕГО ПРОФЕССИОНАЛЬНОГО ОБРАЗОВАНИЯ «БЕЛОРУССКО-РОССИЙСКИЙ УНИВЕРСИТЕТ»

Кафедра «Физика»

ФИЗИЧЕСКИЕ ОСНОВЫ ЭЛЕКТРОНИКИ

Методические рекомендации к лабораторным работам для студентов направления подготовки 13.03.02 «Электроэнергетика и электротехника» дневной формы обучения

ОСНОВЫ ФИЗИКИ ПОЛУПРОВОДНИКОВЫХ ПРИБОРОВ



УДК 621.38:53 ББК 32.85:22.3

Φ 50

Рекомендовано к изданию учебно-методическим отделом Белорусско-Российского университета

Одобрено кафедрой физики «3» апреля 2018 г., протокол № 8

Составители: д-р физ.-мат. наук, доц. А. В. Хомченко; канд. физ.-мат. наук, доц. А. И. Ляпин; ст. преподаватель В. В. Глущенко

Рецензент канд. техн. наук, доц. А. П. Прудников

В методических рекомендациях приводятся основы физики полупроводниковых приборов, описание лабораторных установок, рассматривается принцип их действия, излагается порядок выполнения лабораторных работ по изучаемому курсу.

Учебно-методическое издание

ФИЗИЧЕСКИЕ ОСНОВЫ ЭЛЕКТРОНИКИ

Ответственный за выпуск А. В. Хомченко

Технический редактор А. А. Подошевко

Компьютерная верстка Н. П. Полевничая

Издатель и полиграфическое исполнение: Государственное учреждение высшего профессионального образования «Белорусско-Российский университет». Свидетельство о государственной регистрации издателя, изготовителя, распространителя печатных изданий № 1/156 от 24.01.2014. Пр. Мира, 43, 212000, Могилев.

© ГУ ВПО «Белорусско-Российский университет», 2018



Содержание

Инструкция по охране труда при работе в лаборатории	. 4
1 Общие сведения к лабораторным работам № 2.1–2.3	. 5
2 Лабораторная работа № 2.1. Исследование вольт-амперной	
характеристики p – n -переходов с различной шириной запрещенной зоны	
полупроводника	18
3 Лабораторная работа № 2.2. Исследование влияния температуры	
на вольт-амперную характеристику p - n -перехода	20
4 Лабораторная работа № 2.3. Исследование обратной ветви	
вольт-амперной характеристики p – n -переходов с различной шириной	
запрещенной зоны полупроводника	. 24
5 Лабораторная работа № 2.4. Исследование проводимости	
МДП-структур	26
Список литературы	



Инструкция по охране труда при работе в лаборатории

- 1 К работе в учебной лаборатории допускаются студенты, прошедшие инструктаж по охране труда с соответствующей записью в протоколе проверки знаний по мерам безопасности.
 - 2 В учебную лабораторию запрещено входить в верхней одежде.
- 3 Для работы приборов используется напряжение 220 В, представляющее опасность для жизни, что требует повышенного внимания и обязательного выполнения правил и норм охраны труда.
- 4 Перед началом проведения лабораторной работы студенту необходимо внимательно осмотреть приборы и оборудование на рабочем столе: нет ли механических повреждений, оголенных или оборванных проводов; проверить наличие заземления на приборах. О неисправностях сообщить преподавателю или лаборанту.
- 5 Электрическая схема студентом собирается при отключенных приборах и оборудовании от электрической сети. Собранную электрическую схему обязательно должен проверить преподаватель. Перед включением источника постоянного тока в сеть проверить, находятся ли их «регулировки выхода» в положении, соответствующем минимальному выходному напряжению.
- 6 Приступать к выполнению лабораторной работы можно только с разрешения преподавателя. После подключения к схеме источников напряжения никаких переключений в схеме не производить. Не прикасаться руками к точкам установки, которые могут оказаться под напряжением.
- 7 При проведении работы необходимо быть внимательным и при резких отклонениях в показаниях приборов, появлении характерного запаха, искрения нужно отключить приборы и сообщить преподавателю.
- 8 Не оставлять без присмотра приборы, устройства и оборудование, включенные в электрическую сеть.
- 9 В случае возгорания электрических проводов или приборов необходимо их немедленно обесточить и сообщить преподавателю или лаборанту.
- 10 При снятии температурных зависимостей следует соблюдать осторожность с термокамерой, температура которой может достигать 100 °C.
 - 11 В случае поражения работающего электрическим током необходимо:
 - немедленно отключить оборудование;
 - освободить пострадавшего от токоведущих частей;
 - уложить пострадавшего;
 - проверить у пострадавшего наличие дыхания;
 - убедиться в наличии пульса;
- при необходимости приступить в искусственному дыханию, вызвать врача скорой помощи по тел. 103.
- 12 По окончании лабораторной работы необходимо отключить электрические приборы, навести порядок на своём рабочем месте.



1 Общие сведения к лабораторным работам № 2.1–2.3

1.1 Контакт двух полупроводников р- и п-типа

Переход между двумя областями полупроводника с различным типом электропроводности называют электронно-дырочным или p-n-переходом. Электронно-дырочный переход, у которого $p_p \approx n_n$, называют *симметричным*. Если концентрации основных носителей заряда в областях p и n различны $(n_n >> p_p$ или $p_p >> n_n)$ и отличаются в 100...1000 раз, то такие переходы называют *несимметричными*. На практике для изготовления полупроводниковых приборов используют несимметричные p-n-переходы. Данный переход обладает выпрямительными свойствами.

1.2 Параметры и характеристики несимметричного р-п-перехода

Рассмотрим переход между двумя областями полупроводника (рисунок 1.1, a), где концентрация дырок в p-области намного выше концентрации электронов в n-области. Если основные носители в двух областях связаны между собой отношением $p_p >> n_n$, то и для неосновных носителей выполняется неравенство $n_p << p_n$ (рисунок 1.1, δ).

Поскольку концентрация дырок в p-области значительно больше, чем в n-области, а концентрация электронов в n-области значительно больше, чем в p-области, то на границе двух областей p и n возникают градиенты концентрации электронов и дырок (см. рисунок 1.1, δ). Они являются причиной диффузии дырок из p-области в n-область, а электронов из n-области в p-область.

Плотность суммарного диффузионного тока, направление которого совпадает с направлением движения дырок, определяется двумя составляющими:

$$j_{\partial u\phi} = j_{\partial u\phi} {}_{n} + j_{\partial u\phi} {}_{p} = qD_{n} \frac{dn}{dx} - qD_{p} \frac{dp}{dx}, \qquad (1.1)$$

где D_p , D_n – коэффициенты диффузии дырок и электронов;

q – заряд электрона.

Для кремния $D_n = 38$ см²/с, $D_p = 13$ см²/с, а для германия $D_n = 93$ см²/с, $D_p = 44$ см²/с.

В формуле (1.1) знак «минус» перед дырочной составляющей плотности тока появляется потому, что дырки, как и электроны, движутся против вектора градиента концентрации, но имеют положительный заряд. Электроны имеют отрицательный заряд, поэтому «минус» перед электронной составляющей диффузионного тока исчезает.

Диффузионный перенос носителей заряда нарушает электрическую нейтральность прилегающих к границе частей кристалла полупроводника. В p-области вследствие ухода дырок остается нескомпенсированный *отрицательный заряд неподвижных ионов акцепторных примесей*, а в n-области изза ухода электронов остается нескомпенсированный *положительный заряд*



неподвижных ионов донорной примеси (рисунок 1.1, 6). Таким образом, на границе двух полупроводников образуется слой, обедненный подвижными носителями заряда, т. е. слой с высоким сопротивлением. Его и принято называть p-n-n-pеxоdоm. За пределами p-n-перехода все заряды взаимно компенсируют друг друга, и полупроводник остается электрически нейтральным.

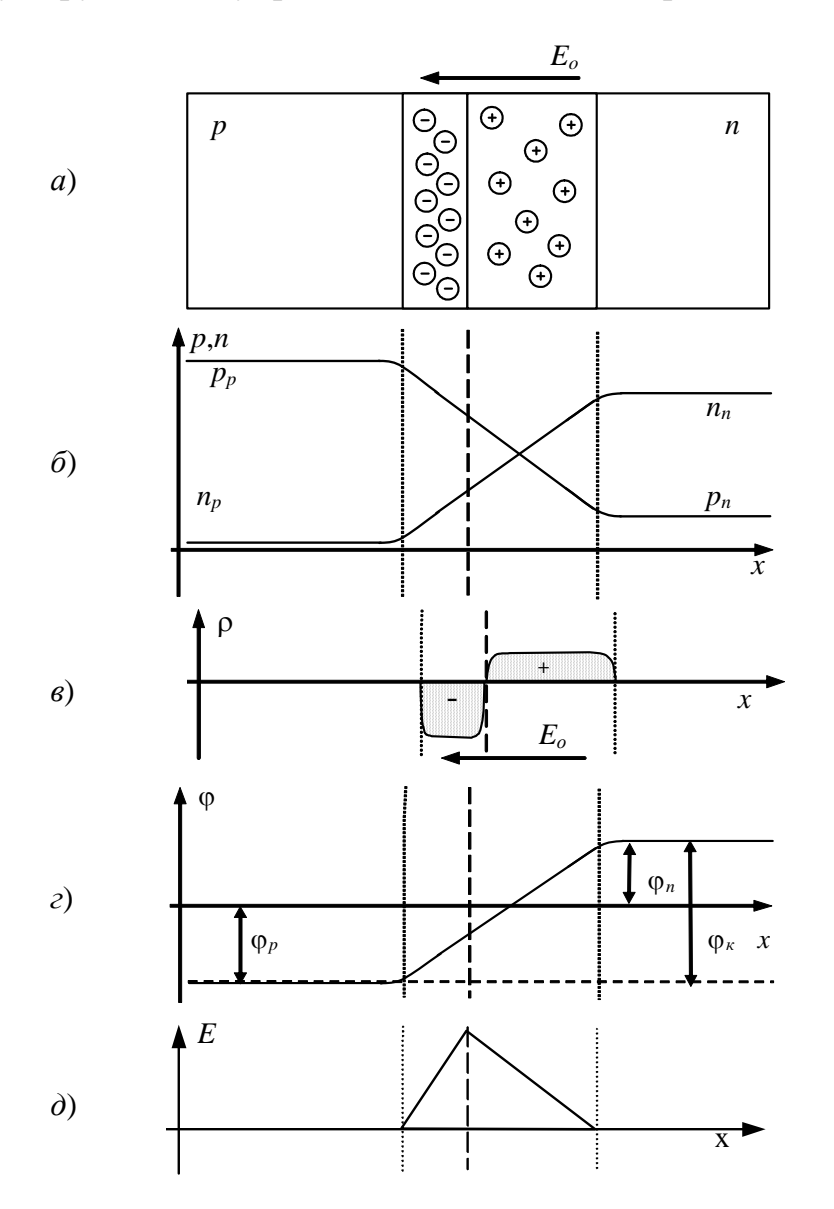


Рисунок 1.1 – Характеристики р-п-перехода

Между образовавшимися зарядами возникает контактная разность **потенциалов** $\phi_{\kappa} = \phi_n - \phi_p$ и **электрическое поле** E_0 , направленное от n-области к p-области (рисунок 1.1 ϵ , δ). Электрическое поле препятствует движению основных носителей заряда через переход. Однако это же поле является ускоряющим для неосновных носителей – дырок из *n*-области и электронов из p-области, и в поле напряженности E_0 происходит их дрейф.

Плотность дрейфового тока

$$j_{\partial p} = j_{\partial pp} + j_{\partial pn} = q(p_n \mu_p E + n_p \mu_n E), \qquad (1.2)$$

где μ_p , μ_n — подвижности дырок и электронов.

Для германия $\mu_p = 1900 \text{ cm}^2/(\text{B}\cdot\text{c})$, $\mu_n = 3900 \text{ cm}^2/(\text{B}\cdot\text{c})$, для кремния $\mu_p = 430 \text{ cm}^2/(\text{B}\cdot\text{c})$, $\mu_n = 1350 \text{ cm}^2/(\text{B}\cdot\text{c})$.

Перемещение неосновных носителей приводит к уменьшению объемного заряда и электрического поля p–n-перехода. Как следствие, имеет место дополнительная диффузия основных носителей, в результате чего электрическое поле принимает исходное значение. При равенстве потоков основных и неосновных носителей заряда наступает динамическое равновесие и суммарная плотность токов равна нулю:

$$j_{\partial u\phi} + j_{\partial p} = 0.$$

Контактная разность потенциалов в *p-n*-переходе $\phi_{\kappa} = \phi_n - \phi_p$ в первом приближении может быть рассчитана по формуле

$$\varphi_{\kappa} = \frac{kT}{q} \ln \frac{p_p}{p_n} = \frac{kT}{q} \ln \frac{N_a N_d}{n_i^2}, \qquad (1.3)$$

где k – постоянная Больцмана;

T – температура;

 N_a, N_d — концентрация акцепторов и доноров в дырочной и электронной областях соответственно;

 p_p, p_n – концентрация дырок в p- и n-областях;

 n_i – собственная концентрация полупроводника.

Из анализа формулы (1.3) можно сделать следующие выводы:

- контактная разность потенциалов зависит от типа полупроводника (в знаменателе формулы присутствует n_i^2). Поскольку концентрация пар электрон-дырка в собственном полупроводнике n_i зависит от ширины запрещенной зоны полупроводника, то чем шире запрещенная зона полупроводника, тем меньше n_i и выше контактная разность потенциалов;
- контактная разность потенциалов тем выше, чем выше концентрация примесей в p- и n-областях, т. к. в этом случае увеличиваются объемные заряды по обе стороны от перехода и напряженность электрического поля;
- контактная разность потенциалов зависит от температуры. Хотя в формуле (1.3) имеется прямая зависимость φ_{κ} от температуры T, но значительно сильнее ее влияние проявляется через механизм воздействия на концентрацию носителей в собственном полупроводнике: чем выше температура, тем больше n_i и ниже φ_{κ} .

Значения контактной разности потенциалов для наиболее распространенных полупроводниковых материалов приведены в таблице 1.1.

Толщину p–n-перехода δ можно определить по формуле

$$\delta = \delta_p + \delta_n = \sqrt{\frac{2\varepsilon\varepsilon_o}{q} \left(\frac{1}{N_a} + \frac{1}{N_d}\right) \varphi_\kappa}, \qquad (1.4)$$

где δ_p , δ_n — толщина перехода в областях p и n соответственно;



 N_a , N_d — концентрации примесей в p- и n- областях;

 ϵ и ϵ_{o} — диэлектрическая проницаемость полупроводника и воздуха соответственно.

Таблица 1.1 – Контактная разность потенциалов для ряда материалов

Полупроводник	φ, В
Ge	0,30,4
Si	0,70,8
GaAs	1

Из формулы (1.4) следует, что толщина p–n-перехода зависит от концентрации примесей в p- и n-областях. В случае рассматриваемого несимметричного p–n-перехода $N_a >> N_d$ и $1/N_a \approx 0$ формула принимает следующий вид:

$$\delta = \sqrt{\frac{2\varepsilon\varepsilon_o}{q} \frac{\varphi_\kappa}{N_d}} \ .$$

Что еще раз подтверждает положение о том, что p-n-переход практически полностью располагается в слабо легированной области полупроводника.

В реальных полупроводниковых приборах толщина p-n-перехода составляет от сотых долей до единиц микрометров.

1.3 Электронно-дырочный переход под прямым напряжением

При отсутствии внешнего воздействия

$$I_{p\!-\!n}\!=\!I_{\partial\!u\!\phi}\,+\,I_{\partial\!p}\!=\!0,$$

т. е. дрейфовая и диффузионная составляющие тока уравновешивают друг друга. При этом потенциальный барьер препятствует движению основных (преобладающих в полупроводниковых областях) носителей, образующих диффузионные составляющие, а дрейфовые составляющие ограничиваются низкой концентрацией неосновных (составляющих меньшинство) носителей, образующих данный ток.

Если к p-n-переходу приложено внешнее напряжение, то равновесие между диффузионным и дрейфовым токами нарушается и через p-n-переход начинает протекать электрический ток.

Напряжение, приложенное плюсом к p-области полупроводника, а минусом – к n-области, называется npsmbm или отпирающим для p-n-перехода. При подаче такого напряжения на переход говорят, что переход включен в прямом направлении (рисунок 1.2, a).

Так как обедненный подвижными носителями заряда p–n-переход обладает значительно большим сопротивлением, чем p- и n-области, то при приближенном анализе процессов в переходе можно считать, что все внешнее напряжение приложено к p–n-переходу. Под действием прямого внешнего напряжения



в p-n-переходе возникает электрическое поле, направленное противоположно внутреннему полю перехода E_o , отчего результирующее поле в p-n-переходе ослабляется, и потенциальный барьер снижается. Высота его становится равной $\varphi = \varphi_{\kappa} - U_{np}$ (рисунок 1.2, б).

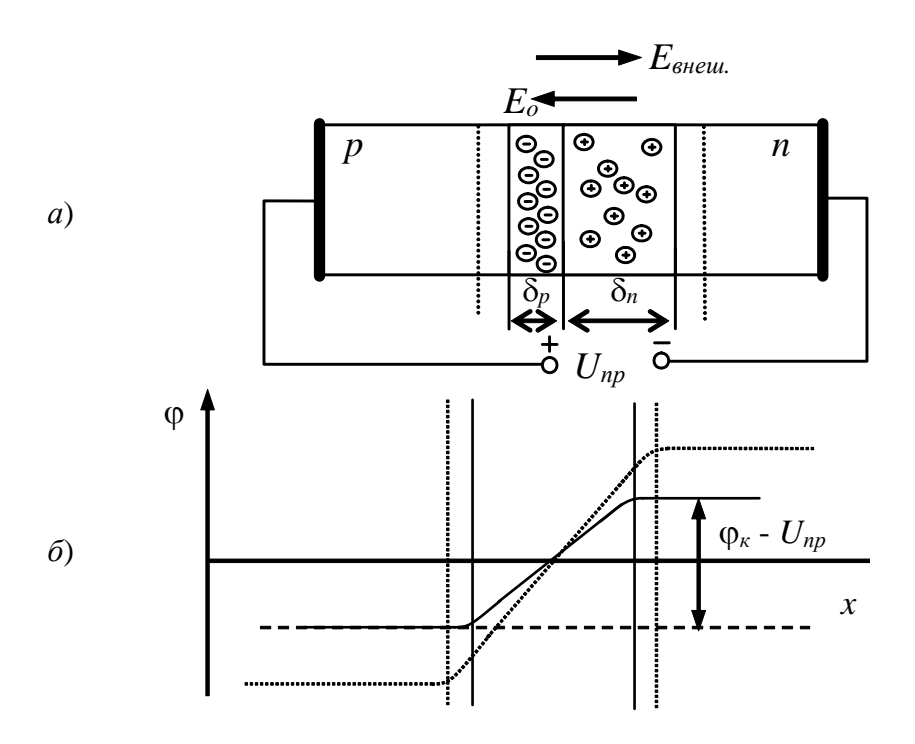


Рисунок 1.2 – Включение перехода в прямом направлении

В результате снижения потенциального барьера количество основных носителей, диффундирующих через p-n-переход, возрастает (см. рисунок 1.2, δ). При этом дефицит носителей в обедненном слое сокращается, сопротивление его уменьшается, толщина перехода также уменьшается:

$$\delta = \sqrt{\frac{2\varepsilon\varepsilon_o}{q} \frac{\varphi_\kappa - U_{np}}{N_d}} \,. \tag{1.5}$$

Чем больше значение напряжения U_{np} , прикладываемое к p-n-переходу, тем ниже становится высота потенциального барьера. Это способствует увеличению потока дырок, преодолевающих потенциальный барьер и переходящих в n-область, и потока электронов, переходящих в p-область, где эти носители становятся неосновными. Этот процесс называется инжекцией.

Число основных носителей (дырок и электронов), преодолевающих потенциальный барьер в отсутствие внешнего напряжения, подчиняется распределению Максвелла-Больцмана.

$$p_{n0}=p_{p0}e^{q\varphi_{\kappa}/(kT)};$$

$$n_{n0} = n_{n0}e^{q\varphi_{\kappa}/(kT)}.$$

При подключении прямого напряжения это количество увеличивается в $exp\ (qU_{np}/kT)$ раз:

$$p_n = p_{no} e^{qUnp/(kT)};$$

$$n_p = n_{po} e^{qUnp/(kT)}$$
.

Следует ожидать, что во столько же раз увеличится и диффузионный ток через p-n-переход:

$$I_{\partial u\phi} = I_{\partial u\phi o} e^{qUnp/(kT)},$$

где $I_{\partial u \phi o}$ — диффузионный ток через переход в состоянии равновесия.

Поток же неосновных носителей остается неизменным, т. к. на неосновные носители заряда изменение высоты потенциального барьера не оказывает влияния: результирующее электрическое поле всегда достаточно велико, чтобы перебросить их через переход. Ток неосновных носителей (дрейфовый ток) зависит только от количества неосновных носителей, подошедших к p-n-переходу на расстояние диффузионной длины. Изменение толщины p-n-перехода для неосновных носителей не играет существенной роли. Соответственно ток, обусловленный движением этих носителей заряда, остается таким же, как и в равновесном состоянии, при котором он был равен диффузионному току и направлен навстречу ему.

Обозначив $I_{\partial po} = I_{\partial u \phi o} = I_o$ в равновесном состоянии, получим, что при подключении к p-n-переходу прямого напряжения результирующий ток

$$I_{np} = I_{\partial u\phi} - I_{\partial p} = I_o e^{qUnp/kT} - I_o$$

или

$$I_{np} = I_o(e^{qUnp/kT} - 1), \tag{1.6}$$

где $q/kT = 26 \,\mathrm{MB}$.

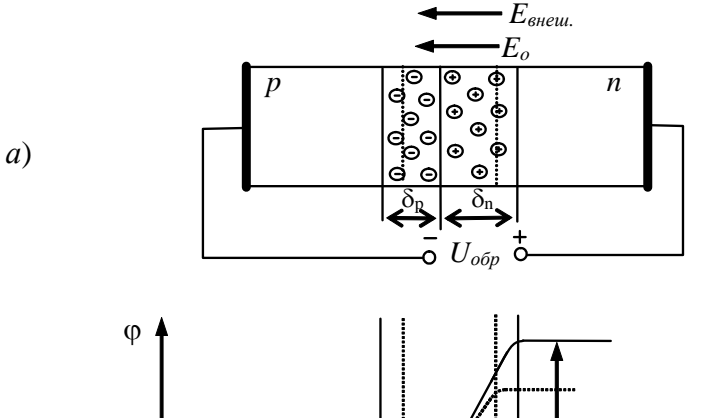
Уравнение (1.6) является вольт-амперной характеристикой прямо смещенного p–n-перехода. Из него следует, что зависимость прямого тока от прямого напряжения носит экспоненциальный характер.

1.4 Электронно-дырочный переход под обратным напряжением

Если внешнее напряжение плюсом приложено к n-области, а минусом — к p-области, то в этом случае говорят, что p-n-переход находится под **обрам- ным** напряжением. Его полярность при этом совпадает с полярностью контактной разности потенциалов (рисунок 1.3, a).

Высота потенциального барьера при обратном напряжении увеличивается до $\varphi = \varphi_{\kappa} + U_{oбp}$ (рисунок 1.3, δ). Поле, создаваемое обратным напряжением, складывается с полем контактной разности потенциалов. Под действием возросшего поля, тормозящего для основных носителей, последние интенсивнее возвращаются в «свои» области, увеличивая дефицит свободных носителей в p-n-переходе. Это приводит к увеличению его электрического сопротивления.





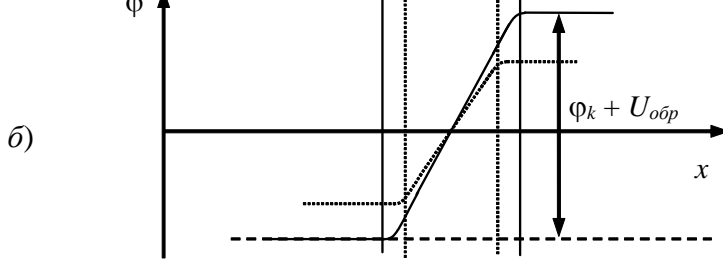


Рисунок 1.3 – Включение перехода в обратном направлении

Поскольку основные носители оттесняются от перехода, толщина его увеличивается:

$$\delta = \sqrt{\frac{2\varepsilon\varepsilon_o(\varphi_\kappa + U_{o\delta p})}{qN_d}}.$$
 (1.7)

Количество дырок и электронов, способных преодолеть увеличившийся потенциальный барьер, можно описать выражениями:

$$p_n = p_{n0}e^{-\frac{qU_{o\delta p}}{kT}}; \quad n_p = n_{p0}e^{-\frac{qU_{o\delta p}}{kT}},$$

из которых следует, что число основных носителей, принимающих участие в образовании тока при обратном включении p-n-перехода, экспоненциально убывает с ростом $U_{oбp}$.

Дрейфовый ток обусловлен движением неосновных носителей. Его величина, как указывалось ранее, практически не зависит от величины потенциального барьера. Неосновные носители — дырки из n-области и электроны из p-области, подошедшие к p-n-переходу на расстояние диффузионной длины, втягиваются полем перехода и переносятся в соседнюю область, где они становятся основными носителями заряда. Этот процесс называется экстракцией.

Плотность дрейфового тока согласно (1.2)

$$j_{\partial p} = j_{\partial p p} + j_{\partial p n} = q(p_n \mu_p E + n_p \mu_n E) = q \left(\frac{p_n D_p}{L_p} + \frac{n_p D_n}{L_n} \right),$$

где D_p , D_n и L_p , L_n — коэффициенты диффузии дырок, электронов и их диффузионная длина соответственно.



Результирующий ток обратно смещенного перехода

$$I_{o\delta p} = I_{\partial u\phi} - I_{\partial p} = I_o e^{-qUo\delta p/(kT)} - I_o$$

или

$$I_{\text{oбp}} = I_o(e^{-qUo\delta p/(kT)} - 1). \tag{1.8}$$

Выражение (1.8) является уравнением вольт-амперной характеристики (ВАХ) обратно смещенного p–n-перехода. При обратном напряжении $U_{oбp} \ge 3 \varphi_T$ диффузионный ток прекращается, и обратный ток представляет собой ток неосновных носителей, величина которого не зависит от приложенного напряжения, а определяется только площадью p–n-перехода, типом полупроводника и концентрацией неосновных носителей:

$$I_{o\delta p} = I_o = qS_{p-n} \left(\frac{D_p}{L_p} p_n + \frac{D_n}{L_n} n_p \right),$$

где S_{p-n} — площадь p—n-перехода.

Итак, вольт-амперная характеристика p–n-перехода как при прямом, так и при обратном включении определяется экспоненциальной функцией вида

$$I = I_o(e^{qU/kT} - 1) = I_o(e^{U/U_T} - 1), \tag{1.9}$$

где U_T – температурный потенциал, $U_T = kT/q$ (при 300 К $U_T = 26$ мВ);

 I_0 – обратный ток насыщения.

Графический вид этой характеристики представлен на рисунке 1.4. Из графика следует, что p–n-переход представляет собой нелинейный элемент, обладающий выпрямляющим свойством, т. к. величина тока при запирающем смещении оказывается значительно меньшей, чем при прямом.

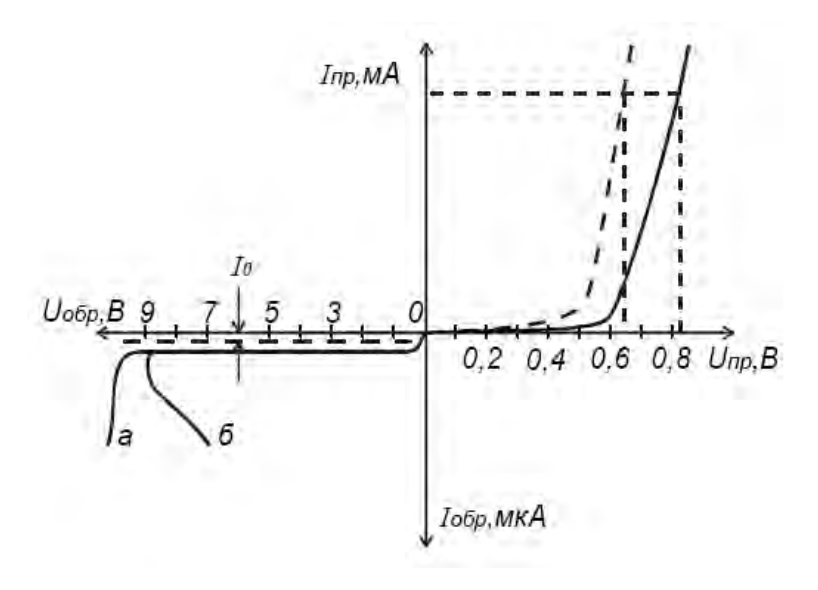


Рисунок 1.4 – Вольт-амперные характеристики *р–п*-перехода



1.5 Вольт-амперная характеристика реального р–п-перехода

Функция (1.9) описывает ВАХ *идеального* p–n-перехода, т. к. при ее выводе учитывались только процессы инжекции и экстракции и не учитывались многие факторы.

Вольт-амперная характеристика *реального* электронно-дырочного перехода отличается от соответствующей характеристики идеального перехода прежде всего тем, что приложенное к выводам напряжение включает в себя напряжения, падающие в объемах областей p и n, т. е. отличается от напряжения на самом p-n-переходе. Полупроводниковый переход представляет собой объединение собственно p-n-перехода и омического сопротивления p- и n-областей. Поэтому ВАХ собственно перехода характеризуется экспоненциальной зависимостью на прямой ветви только на начальном участке. При достижении порогового напряжения U_{nop} переход исчезает и зависимость между током и напряжением определяется величиной сопротивления $r_0 = r_p + r_n$. (рисунки 1.5 и 1.6).

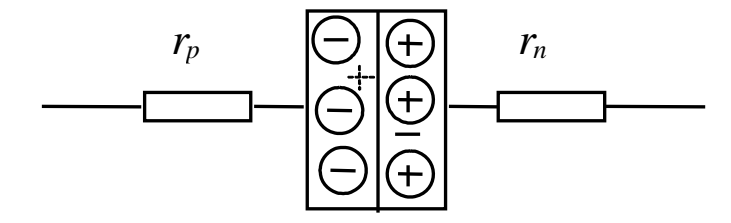


Рисунок 1.5 – Эквивалентная схема *p*–*n*-перехода

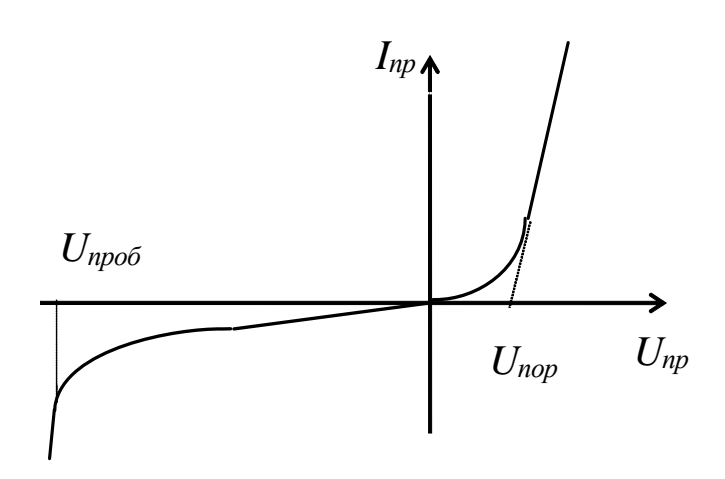


Рисунок 1.6 – Вольт-амперная характеристика реального *p–n*-перехода

Кроме того, общий ток через переход состоит из ряда составляющих:

$$I = I_0 + I_{2eh} + I_{pek} + I_{kah} + I_{ym},$$

в отличие от идеального p–n-перехода, имеющего всего одну составляющую, определяемую выражением (1.9). Объясняется это тем, что при анализе идеального перехода мы полагали, что потоки носителей заряда при их пролете через



переходный слой остаются постоянными, а поэтому токи в этом слое не меняются. В действительности же в переходном слое так же, как и в областях p и n, происходит генерация и рекомбинация носителей заряда. При этом образуются токи генерации $I_{\text{ген}}$ и рекомбинации $I_{\text{рек}}$, влияние которых в ряде случаев существенно, в особенности для приборов, изготовленных из кремния. Эти составляющие тока ведут себя по-разному в различных включениях p-n-перехода. В частности, при отсутствии напряжения ток генерации компенсируется током рекомбинации точно такой же величины:

$$I_{\text{ген}} = I_{\text{рек}}$$
.

При *запирающем* напряжении высота потенциального барьера повышается, поток основных носителей через переход почти прекращается, поэтому исчезает ток рекомбинации I_{pek} . Ток генерации I_{zeh} , наоборот, возрастает, т. к. расширяется переходный слой, т. е. та область, в которой происходит генерация носителей заряда.

При *отпирающем* напряжении из-за сужения p-n-перехода ток генерации спадает, но заметно возрастает ток рекомбинации, т. к. существенно растет поток основных носителей заряда через переход.

Суммарный ток через переход включает в себя также токи утечки I_{ym} и канальные токи $I_{\kappa a \mu}$, которые обусловлены поверхностными эффектами. Ток утечки образуется по поверхности переходного слоя и зависит от ее состояния. При изготовлении полупроводниковых приборов специальной обработкой стремятся уменьшить величину токов утечки до пренебрежимо малых значений.

Более существенное влияние на работу p–n-переходов оказывают канальные токи, которые образуются в так называемых каналах на поверхности кристалла из-за искривления энергетических зон полупроводника. Канал работает как обычный p–n-переход, и его токи суммируются с остальными токами как при прямом, так и при обратном включении перехода.

Таким образом, график BAX реального p–n-перехода выглядит иначе, чем для идеального (см. рисунок 1.6). При прямом напряжении характеристика реального перехода пройдет ниже характеристики идеального p–n-перехода вследствие падения напряжения на сопротивлениях областей p и n.

Уравнение BAX в этой области будет иметь вид:

$$I = I_0[e^{q(U_{np} - Ir_{\delta})/(kT)} - 1],$$

где r_{δ} — сопротивление менее легированной из областей полупроводника, образующих p—n-переход.

перехода. Напряжение, при котором наступает пробой, может иметь величину от единиц до сотен вольт.

соответственно, температуры.

Различают три вида (механизма) пробоя p-n-перехода: лавинный, туннельный и тепловой. Первые два связаны с увеличением напряженности электрического поля в переходе, а третий – с увеличением рассеиваемой мощности и,

Лавинный пробой, который является разновидностью электрического вида пробоя, возникает в высокоомных полупроводниках, имеющих большую ширину перехода. Поскольку длина свободного пробега электрона значительно меньше ширины перехода, то за время свободного пробега электроны успевают приобрести достаточную энергию, чтобы при соударении с атомами ионизировать их, образуя пары электрон-дырка. Вновь образованные электроны, ускоряясь полем, в свою очередь, могут так же вызвать ионизацию атомов. Таким образом, будет происходить лавинообразное нарастание тока, приводящее к пробою p-n-перехода (см. рисунок 1.4, характеристика a). При этом ток, протекающий через переход, превысит в M раз величину тока I_o , обусловленного потоком первоначальных носителей:

 $I = I_0 M$.

где M – коэффициент лавинного умножения.

Напряжение лавинного пробоя зависит от температуры перехода. С повышением температуры напряжение пробоя возрастает, т. к. сокращается длина свободного пробега электронов и уменьшается энергия, приобретаемая ими на длине свободного пробега. Поэтому ионизация атомов электронами, пролетающими через переходный слой, происходит при больших напряжениях.

Туннельный пробой характерен для узких p-n-переходов, изготовленных из низкоомного полупроводника. Это другая разновидность электрического вида пробоя, и возникает он при напряженностях электрического поля около 200 кВ/см, когда становится возможным туннельный переход электронов из валентной зоны р-области непосредственно в зону проводимости п-области. При туннельном пробое увеличение напряжения настолько сильно искривляет энергетические зоны, что энергия валентных электронов в р-области становится такой же, как энергия свободных электронов в n-области. В случае очень узкого перехода возможен перенос электронов из p-области в n-область без изменения энергии (рисунок 1.7). Это приводит к увеличению тока через p-n-переход.

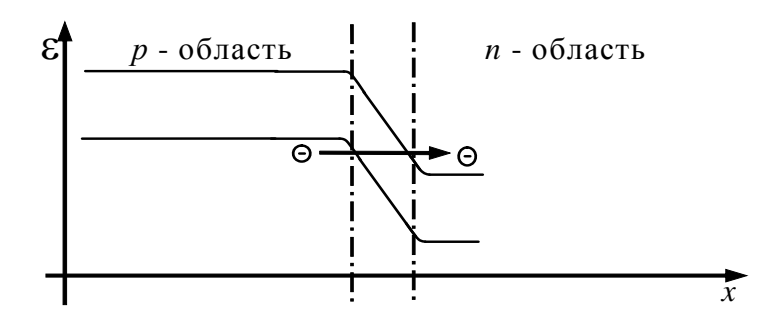


Рисунок 1.7 – Искривление энергетических зон при увеличении приложенного напряжения к p-n-переходу



Напряжение туннельного пробоя уменьшается с повышением температуры. При увеличении температуры ширина запрещенной зоны полупроводника уменьшается, и уровни энергии электронов в зоне проводимости и в валентной зоне выравниваются при меньших напряжениях. Туннельный переход становится возможным при более низких напряжениях.

Тепловой пробой возникает в результате разогрева перехода, когда количество теплоты, выделяемой током в p-n-переходе, больше количества теплоты, отводимой от него. При разогреве перехода происходят интенсивная генерация электронно-дырочных пар и увеличение обратного тока через переход. Это, в свою очередь, приводит к дальнейшему увеличению температуры и обратного тока. В итоге ток через переход лавинообразно увеличивается (см. рисунок 1.4, характеристика б). В отличие от электрических видов пробоя тепловой пробой необратим, т. к. при нем происходят необратимые изменения структуры p-n-перехода. Диод является температурно-зависимым элементом, т. к. изменение температуры окружающей среды приводит к изменению интенсивности термогенерации — процесса образования пар электрон—дырка. Температурные колебания приводят к сдвигу прямой ветви вольт-амперной характеристики влево/вправо, а обратной вверх/вниз. Наиболее важен сдвиг на прямой ветви, который оценивается температурным коэффициентом напряжения (ТКН):

$$TKH = \frac{\Delta U}{\Delta T}\Big|_{I=\text{const}},$$

где ΔT – некоторое изменение температуры окружающей среды;

 ΔU — соответствующее изменение напряжения на диоде при постоянном прямом токе (рисунок 1.8).

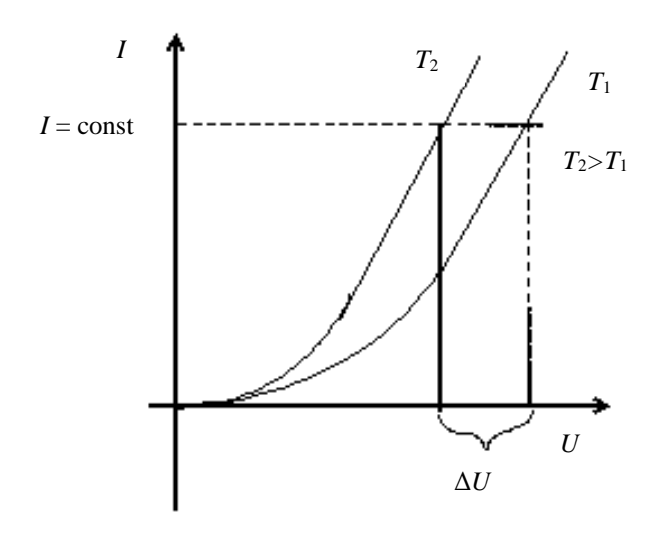


Рисунок 1.8 – К определению ТКН перехода

С повышением температуры кристалла увеличивается тепловая энергия электронов, поэтому повышается вероятность их перехода из валентной зоны в зону проводимости (возрастает скорость генерации пар электрон–дырка), что



приводит к росту концентрации неосновных носителей заряда и, соответственно, их потоков, образующих тепловые токи. Тепловые токи в реальных p-nпереходах образуются потоком неосновных носителей заряда, которые генерируются в различных областях кристалла: в областях p и n, в области перехода, в каналах. Степень изменения тепловых токов с изменением температуры зависит от вида генерации. Кроме того, на участке теплового пробоя $U_{o\delta p}$ уменьшается при возрастании $I_{o\delta p}$ (см. рисунок 1.4).

Вольт-амперные характеристики кремниевого и германиевого переходов представлены на рисунке 1.9. При повышении температуры абсолютная величина изменения обратного тока в кремниевом переходе (см. рисунок 1.9, a) значительно меньше, чем в германиевом (см. рисунок $1.9, \delta$).

В германиевых p-n-переходах при комнатной и повышенных температурах преобладают тепловые токи, обусловленные прямой генерацией. Ширина запрещенной зоны в кристаллах германия достаточно мала, поэтому вероятность прямой генерации значительно выше, чем в кремниевых p-n-переходах.

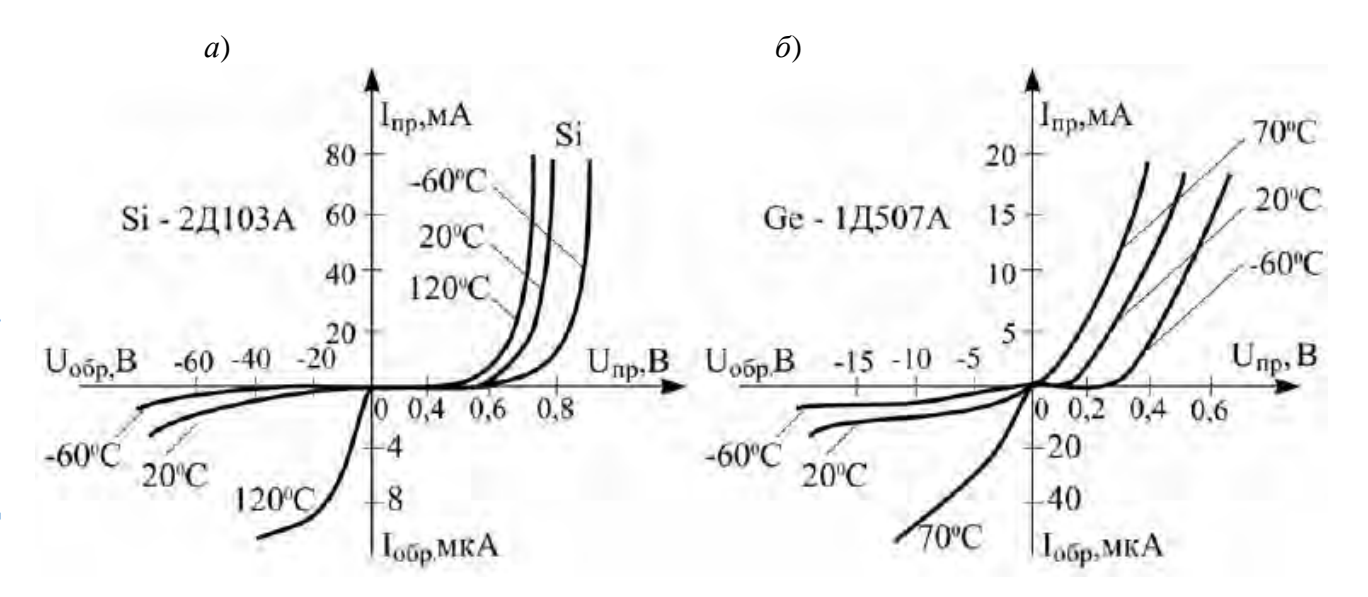


Рисунок 1.9 – Вольт-амперные характеристики кремниевого и германиевого переходов

В кремниевых p-n-переходах ширина запрещенной зоны сравнительно велика, поэтому при комнатной температуре вероятность прямой генерации низка: тепловые токи, обусловленные этим видом генерации, не превышают сотых и тысячных долей тепловых токов, вызванных ступенчатой генерацией. Лишь при температурах 100...120 °C указанные составляющие тепловых токов становятся сравнимыми между собой. Таким образом, переходы, изготовленные из кремния, имеют лучшие обратные характеристики, что является их большим преимуществом.

Прямые ветви вольт-амперных характеристик с ростом температуры изменяются мало. На их положение оказывает влияние изменение контактной разности потенциалов, которая уменьшается с ростом температуры.

2 Лабораторная работа № 2.1. Исследование вольт-амперной характеристики *p-n*-переходов с различной шириной запрещенной зоны полупроводника

Цель работы: изучение вольт-амперных характеристик германиевых и кремниевых p-n-переходов. Сравнение результатов эксперимента с теорией p-n-перехода. Определение некоторых параметров p-n-перехода и полупроводникового материала, из которого он изготовлен.

2.1 Описание установки

Установка состоит из измерительного стенда, внешнего многопредельного вольтметра V и многопредельного миллиамперметра mA. Принципиальная схема ее приведена на рисунке 2.1.

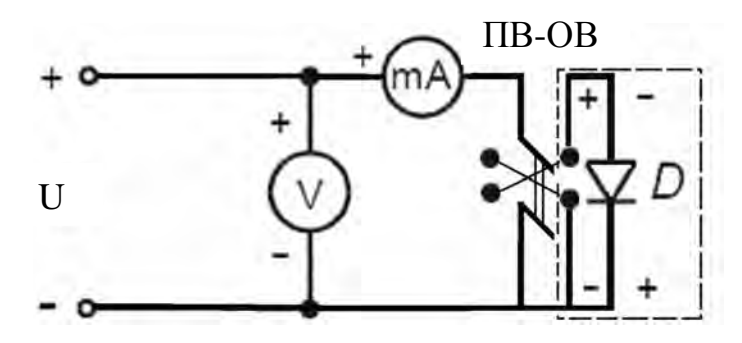


Рисунок 2.1 – Схема установки для снятия прямой и обратной ветвей вольт-амперной характеристики диода

В состав стенда входят источник постоянного напряжения с регулятором постоянного напряжения U, переключатель ПВ–ОВ («прямая ветвь – обратная ветвь»), коммутационные гнезда.

Внимание! Перед включением приборов в сеть следует убедиться в том, что ручка потенциометра, регулирующего выходное напряжение источника постоянного тока, находится крайнем левом положении, что соответствует минимальному выходному напряжению.

2.2 Порядок выполнения работы

- 1 Включить питание вольтметра и амперметра соответствующими тумблерами «Сеть».
- 2 Установить один из кремниевых диодов в соответствии со схемой. *При установке диода следить за правильным положением ключа.*
- 3 Включить источник постоянного тока в сеть и дать ему прогреться в течение 5 мин.
 - 4 Поставить переключатель ПВ-ОВ в положение ПВ (прямая ветвь).
- 5 Увеличивая напряжение, подаваемое на схему от источника постоянного тока, снять зависимость между током I, текущим через переход, и напряжением U, действующим на нем, для кремниевого диода.



Ниверситет

На прямой ветви ток должен изменяться в пределах от 0 до 100 мА.

Увеличение значений силы тока и напряжения производится с помощью реостата. Результаты измерений занести в таблицу 2.1. Количество измерений должно быть достаточным для точного построения нелинейных участков прямой и обратной ветвей вольт-амперной характеристики.

6 После измерений вернуть регулятор реостата в положение «0».

7 Перевести переключатель ПВ–ОВ в положение ОВ (обратная ветвь). Снять обратные ветви вольт-амперных характеристик кремниевого перехода, варьируя по необходимости пределы измерения миллиамперметра mA и вольтметра V.

Ток должен изменяться в таких пределах, чтобы на обратной ветви был виден участок пробоя.

Увеличение значений силы тока и напряжения производится с помощью реостата перемещения регулятора по направлению стрелки. Результаты измерений занести в таблицу 2.1.

Таблица 2.1 – Вольт-амперные характеристики кремниевого перехода

U_{np},B					
I_{np} , MA					
U обр, ${ m B}$					
Іобр, мкА					

- 8 После измерений вернуть регулятор реостата в крайнее положение «0».
- 9 Выключить источник постоянного тока из сети. Установить германиевый диод в гнездо в соответствии со схемой.

При установке диода следить за правильным положением ключа.

- 10 Включить источник постоянного тока в сеть.
- 11 Аналогично пп. 4–8 снять вольт-амперную характеристику германиевого диода. Результаты измерений занести в таблицу 2.2.

После измерений вернуть регулятор реостата в крайнее положение «0».

Таблица 2.2 – Вольт-амперные характеристики германиевого перехода

U_{np} , B					
I_{np} , MA					
<i>Uобр</i> , В					
Іобр, мкА					

Построить прямые и обратные ветви вольт-амперных характеристик переходов в линейном масштабе.

Примечание – Для удобства сравнения полученных характеристик изобразите прямые ветви переходов двух типов на одном графике, а обратные – на другом.

Определить последовательное сопротивление перехода по наклону прямой ветви вольт-амперной характеристики на линейном участке. Оценить удельное

Построить прямые ветви ВАХ в полулогарифмическом масштабе $\ln I = f(U)$. Определить наклон прямой и сравнить его с величиной q/(kT). Определить ток насыщения I_S по экстраполяции прямой до оси токов. Сравнить его с током на обратных ветвях характеристик.

Контрольные вопросы

- 1 Объяснить образование p-n-перехода.
- 2 Какими параметрами принято характеризовать p-n-переход?
- 3 Для *p-n*-перехода изобразить и объяснить распределение подвижных и неподвижных носителей заряда для обратно смещенного перехода.
 - 4 Как образуется контактная разность потенциалов?
- 5 Как и почему изменяется величина контактной разности потенциалов при подключении обратного напряжения?
- 6 Как и почему изменяется толщина *p-n*-перехода при подключении обратного напряжения?
- 7 Какова величина и природа тока, протекающего через p-n-переход при обратном включении?
- 8 Объяснить, как зависит величина обратного тока p-n-перехода от ширины запрещенной зоны полупроводника.
- 9 Объяснить влияние площади p-n-перехода на величину обратного тока через переход.
- 10 На одних осях изобразить вольт-амперные характеристики идеального и реального p-n-переходов. Объяснить, какие составляющие тока p-n-перехода не учитывались при построении идеального перехода.
- 11 Объяснить различия в характере зависимости обратного тока от напряжения для кремниевого и германиевого диода.
 - 12 Вывести формулу вольт-амперной характеристики *p–n*-перехода.
- 13 Объяснить отличия хода прямой ветви вольт-амперной характеристики при малых и больших напряжениях.

3 Лабораторная работа № 2.2. Исследование влияния температуры на вольт-амперную характеристику р-п-перехода

Цель работы: изучение влияния температуры на функционирование p-n-перехода в температурном интервале 20...100 °C. Сравнение результатов эксперимента с теорией p-n-перехода. Определение некоторых параметров p-n-перехода и полупроводникового материала, из которого он изготовлен.

В данной работе снимаются вольт-амперные характеристики германиевого и кремниевого переходов при трех разных температурах.



3.1 Описание установки

Установка состоит из измерительного стенда, внешнего многопредельного вольтметра V и многопредельного миллиамперметра mA. Принципиальная схема ее приведена на рисунке 3.1.

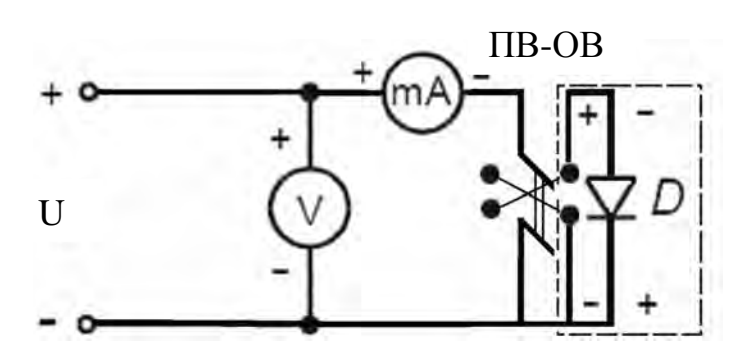


Рисунок 3.1 — Схема установки для исследования влияния температуры на вольт-амперную характеристика p—n-перехода

В состав стенда входят источник постоянного напряжения, источник питания печи, регулятор постоянного напряжения U, переключатель ПВ–ОВ («прямая ветвь – обратная ветвь»), переключатель напряжения печи, коммутационные гнезда, сигнальные лампочки и камера, в которую помещен исследуемый диод. Кроме того, в стенде имеется система измерения температуры в камере, состоящая из датчика, измерительного моста и индикатора. Индикатор T размещается на передней панели стенда. Он градуирован в градусах Цельсия и позволяет измерять температуру от 0 до 100 °C (на рисунке 3.1 измеритель температуры в камере не показан). Следует иметь в виду, что для правильной работы схемы измерения температуры она должна быть включена за 10...15 мин до измерения. Это необходимо для установления температуры элементов схемы.

Внимание! Перед включением приборов в сеть следует убедиться в том, что ручка потенциометра, регулирующего входное напряжение источника постоянного тока, находится в крайнем левом положении, что соответствует минимальному выходному напряжению.

3.2 Порядок выполнения работы

Снятие вольт-амперных характеристик при комнатной температуре.

- 1 Установить переключатель печи в положение «0» (печь отключена).
- 2 Включить питание вольтметра и амперметра соответствующими тумблерами «Сеть». Подключить к схеме кремниевый диод с помощью переключателя КД–ГД, поставив его в положение КД.

При установке и смене диода следить за правильным положением ключа.

3 Включить источник постоянного тока в сеть и дать ему прогреться в течение 5 мин.



- 4 Поставить переключатель ПВ-ОВ в положение ПВ (прямая ветвь).
- 5 Увеличивая ступенями напряжение, подаваемое на схему от источника постоянного тока, снять зависимость между током I, текущим через переход, и напряжением U, действующим на нем, для кремниевого диода.

На прямой ветви ток должен изменяться в пределах от 0 до 100 мА.

Увеличение значений силы тока и напряжения производится с помощью реостата перемещения регулятора по направлению стрелки. Результаты измерений занести в таблицу 3.1. Количество измерений должно быть достаточным для точного построения нелинейных участков прямой и обратной ветвей вольтамперной характеристики.

Таблица 3.1 – Кремниевый *р*–*n*-переход

	Unp, B							
T.	Inp, MA							
T_1	$U_{oбp}$, В							
	$I_{oбp}$, мк A							
	U_{np} , B							
T_{2}	I_{np} , MA							
T_2	U обр, B							
	$I_{oбp}$, мк A							
	U_{np} , B							
T_3	Inp, MA							
13	U обр, B		·	·	·	·	·	
	$I_{o\delta p}$, мк A							

- 6 После измерений вернуть регулятор реостата в крайнее положение «0».
- 7 Перевести переключатель ПВ–ОВ в положение ОВ (обратная ветвь). Снять обратные ветви вольт-амперных характеристик кремниевого перехода, варьируя по необходимости пределы измерения миллиамперметра mA и вольтметра V.

Увеличение значений силы тока и напряжения производится с помощью реостата перемещения регулятора по направлению стрелки. Результаты измерений занести в таблицу 3.1.

- 8 После измерений вернуть регулятор реостата в крайнее положение «0».
- 9 Подключить к схеме германиевый диод с помощью переключателя КД–ГД, поставив его в положение ГД.

При установке диода следить за правильным положением ключа.

- 10 Аналогично пп. 4–8 снять вольт-амперную характеристику германиевого диода. Результаты измерений занести в таблицу 3.2.
- 11 После измерений повернуть регулятор U источника питания против часовой стрелки в крайнее положение.

	Unp, B					
T .	I_{np} , м A					
T_1	U обр, ${ m B}$					
	Іобр, мкА					
	U_{np} , B					
T_2	Inp, MA					
12	U обр, ${ m B}$					
	$I_{oбp}$, мк A					
	U_{np} , B					
T_3	Inp, MA					
13	$U_{oбp}$, В					
	Іобр, мкА					

Таблица $3.2 - \Gamma$ ерманиевый p-n-переход

Снятие вольт-амперных характеристик при различных значениях температуры.

1 Переводя переключатель печи в положение 2, а затем в 3, в соответствии с пп. 3-8 предыдущего раздела снять вольт-амперную характеристику германиевого и кремниевого диодов при двух повышенных температурах (например, при *T* равной 50 и 80 °C).

После перевода переключатель печи в положения 2 и 3 выждать время, необходимое для установления требуемой температуры.

- 2 По полученным данным построить семейство вольт-амперных характеристик кремниевого и германиевого p-n-переходов для разных температур. Объяснить влияние температуры на положение прямой и обратной ветвей вольт-амперных характеристик p-n-переходов.
- 3 Сравнить полученные температурные зависимости вольт-амперных характеристик. Объяснить различное влияние температуры на вид ВАХ германиевого и кремниевого *p-n*-переходов.
- 4 Определить температурный коэффициент напряжения для одного из переходов.

Контрольные вопросы

- 1 Объяснить образование p-n-перехода.
- 2 Какими параметрами принято характеризовать p-n-переход?
- $3 \, \text{Для} \, p$ -n-перехода изобразить и объяснить распределение подвижных и неподвижных носителей заряда для обратно смещенного перехода.
 - 4 Как образуется контактная разность потенциалов?
- 5 Как и почему изменяется величина контактной разности потенциалов при подключении обратного напряжения?
- 6 На одних осях изобразить вольт-амперные характеристики идеального и реального p-n-переходов. Объяснить, какие составляющие тока p-n-перехода

не учитывались при построении идеального перехода.

- 7 Объяснить механизм влияния температуры на величину обратного тока p-n-перехода.
- 8 Объяснить механизм влияния температуры на величину прямого тока p—n-перехода.
- 9 Объяснить, почему влияние температуры проявляется сильнее в германиевых p-n-переходах, чем в кремниевых.
 - 10 Выведите формулу вольт-амперной характеристики *p–n*-перехода.

4 Лабораторная работа № 2.3. Исследование обратной ветви вольт-амперной характеристики *p-n*-переходов с различной шириной запрещенной зоны полупроводника

Цель работы: изучение функционирования p–n-перехода в режимах электрического пробоя.

В работе снимаются обратные ветви вольт-амперных характеристик с различным типом пробоя, проводится сравнение результатов эксперимента с теорией p—n-перехода.

4.1 Описание установки

Установка состоит из измерительного стенда, внешнего многопредельного вольтметра V и многопредельного миллиамперметра mA. Принципиальная схема ее приведена на рисунке 4.1.

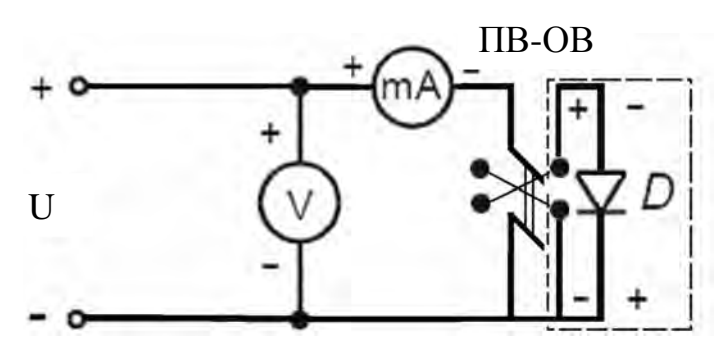


Рисунок 4.1 – Схема установки для снятия обратной ветви вольт-амперной характеристики диода

В состав стенда входят: источник постоянного напряжения с регулятором постоянного напряжения **U**, переключатель **ПВ-ОВ** («прямая ветвь – обратная ветвь»), коммутационные гнезда.

Внимание! Перед включением приборов в сеть следует убедиться в том, что ручка потенциометра, регулирующего входное напряжение источника постоянного тока, находится в крайнем левом положении, что соответствует минимальному выходному напряжению.



4.2 Порядок выполнения работы

1 Включить питание вольтметра и амперметра соответствующими тумблерами «Сеть». Подключить к схеме Si-диод с помощью переключателя КД-ГД, поставив его в положение Si.

При установке и смене диода следить за правильным положением ключа.

- 2 Включить источник постоянного тока в сеть и дать ему прогреться в течение 5 мин.
- 3 Снять обратные ветви вольт-амперных характеристик кремниевых переварьируя по необходимости пределы измерения вольтметра и миллиамперметра mA.

Ток должен изменяться в таких пределах, чтобы на обратной ветви был виден участок пробоя.

Увеличение тока и напряжения производится ручкой реостата по направлению стрелки в интервале от 0 до 50 В с шагом 2 В. Результаты измерений занести в таблицу 4.1.

Таблица 4.1 – Вольт-амперные характеристики кремниевого перехода

Номер диода			Кремні	иевый <i>р</i> –	<i>n</i> -перехо	ЭД	
1	U обр, ${ m B}$						
1	Іобр, мкА						
2	U обр, ${ m B}$						
2	Іобр, мкА						

- 4 После измерений вернуть регулятор реостата в крайнее положение «0».
- 5 Подключить к схеме Ge-диод с помощью переключателя КД-ГД, поставив его в положение Ge.
 - 6 Включить источник постоянного тока в сеть.
- 7 Аналогично п. 3 снять обратную ветвь вольт-амперной характеристики германиевого p-n-перехода. Результаты измерений занести в таблицу 4.2.

Таблица 4.2 – Вольт-амперные характеристики германиевого перехода

Номер диода			Германі	иевый <i>р</i> -	<i>-n</i> -перех	од	
2	U обр, ${ m B}$						
3	$I_{oбp}$, мкА						
4	U обр, ${ m B}$						
4	Іобр, мкА						

После измерений вернуть регулятор реостата в крайнее положение «0».

8 По данным таблиц 4.1 и 4.2 построить семейство обратных ветвей вольтамперных характеристик германиевого и кремниевого р-п-переходов. Пояснить

влияние ширины запрещенной зоны полупроводника на вид полученных характеристик.

9 По данным таблицы построить обратные ветви вольт-амперных характеристик германиевого p-n-перехода в режимах электрического пробоя. На графиках установить соответствие между характеристиками и типами пробоя. Объяснить свое решение.

Контрольные вопросы

- 1 Что представляет собой обратная ветвь вольт-амперной характеристики p–n-перехода?
- 2 Как зависит положение ВАХ от площади перехода на участке обратного напряжения?
- 3 Как зависит положение ВАХ от ширины запрещенной зоны полупроводника на участке обратного напряжения?
 - 4 Объяснить образование *p*–*n*-перехода.
 - 5 Какими параметрами принято характеризовать *p*–*n*-переход?
- 6 Для p-n-перехода, подключенного в обратном направлении, изобразить и объяснить распределение подвижных и неподвижных носителей заряда.
 - 7 Как образуется контактная разность потенциалов?
- 8 Как и почему изменяется величина контактной разности потенциалов при подключении обратного напряжения?
- 9 Как и почему изменяется ширина *p-n*-перехода при подключении обратного напряжения?
- 10 Какова величина и природа тока, протекающего через p-n-переход при обратном включении?
- 11 Объяснить, как зависит величина обратного тока p-n-перехода от ширины запрещенной зоны полупроводника.
- 12 Объяснить влияние площади p-n-перехода на величину обратного тока через переход.

5 Лабораторная работа № 2.4. Исследование проводимости МДП-структур

Цель работы: исследование изменения проводимости полупроводника под действием поперечного электрического поля в структуре «металл – диэлектрик – полупроводник» (МДП).

5.1 Общие сведения

Принцип работы. В транзисторах со структурой «металл – диэлектрик – полупроводник» (МДП) принцип работы основан на модуляции сопротивления проводящего канала на поверхности полупроводника под воздействием эффек-



та поля. МДП-транзисторы, в которых в качестве диэлектрика используется окисел полупроводника (МОП-транзисторы), в настоящее время являются основными элементами интегральных схем. Они находят широкое применение также в мощных ключевых схемах. МДП-транзисторы являются униполярными приборами, работа которых основана на использовании только основных носителей заряда. Процессы инжекции в МДП-транзисторах не используются. На рисунке 5.1 схематически показана конструкция МДП-транзистора. В полупроводниковой подложке р-типа сформированы две высоколегированные n^+ -области — исток и сток.

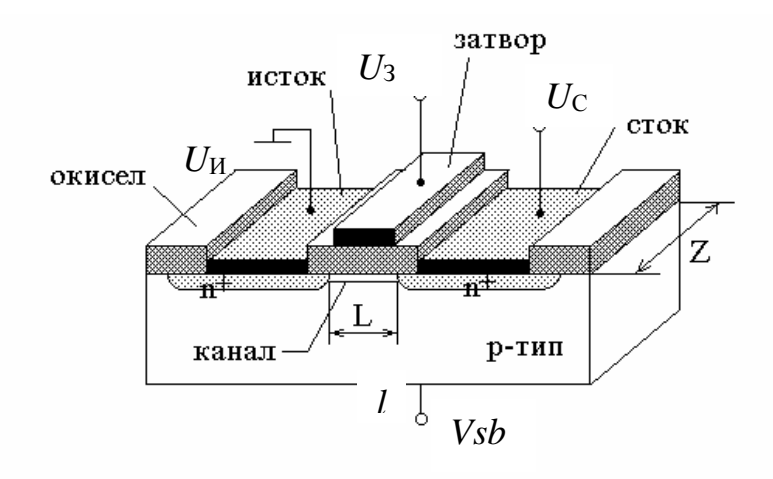


Рисунок 5.1 – Конструкция МДП-транзистора

Металлический электрод – затвор отделен от подложки тонким слоем диэлектрика. Основными параметрами МДП-структуры являются длина канала *l*, ширина канала b, толщина слоя диэлектрика d, глубина переходов n^+ -областей W_n и уровень легирования подложки N_A .

Управляющей цепью в МДП-транзисторах является цепь затвора, управляемой – цепь «исток – сток». Управляющая цепь почти не потребляет ток, поскольку в нее входит участок с диэлектриком, поэтому в МДП-транзисторах получается значительное усиление мощности - намного больше, чем в биполярных транзисторах.

Если напряжение на затворе отсутствует, то электрическая цепь «исток – сток» представляет собой два n^+ –p-перехода, включенных встречно друг другу. Поэтому при любой полярности напряжения «исток – сток» один из переходов смещается в обратном направлении и в выходной цепи будет протекать очень малый ток обратносмещенного перехода.

Если к затвору приложен достаточно большой положительный потенциал, в р-области у границы с диэлектриком образуется (индуцируется) инверсный *канал*, соединяющий n^+ -области стока и истока. Проводимость инверсного канала модулируется при изменении потенциала затвора. Напряжение на затворе, при котором образуется канал, называется пороговым напряжением U_0 .

На рисунке 5.2 приведена гидравлическая модель, иллюстрирующая принцип работы усилителя на МДП-транзисторе. Здесь функции затвора выполняет кран, заслонка которого за счет перемещения в вертикальном направлении регулирует толщину канала h и поток жидкости (тока), поступающей от источника питания в нагрузку.

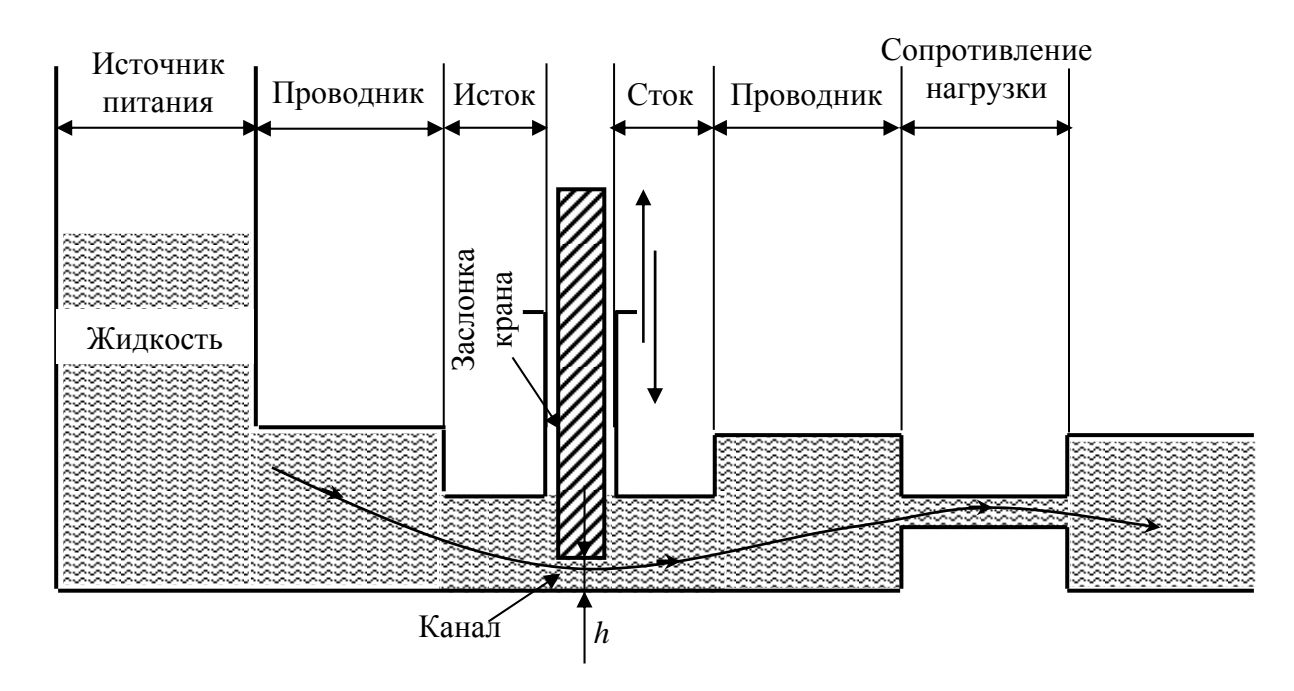


Рисунок 5.2 – Гидравлическая модель, иллюстрирующая принцип работы усилителя на МДП-транзисторе и на полевом транзисторе

На рисунке 5.1 представлена конструкция n-канального МДП-транзистора. Если использовать n-подложку, а области истока и стока выполнить с электропроводностью p^+ -типа, то получится p-канальный МДП-транзистор. Электронные схемы, в которых используется сочетание n- и p-канальных транзисторов, называются komnnememaphimm. МДП-транзисторы, у которых канал появляется только после приложения к затвору потенциала, большего порогового напряжения, называются транзисторами с индуцированным каналом.

Существуют МДП-транзисторы с встроенным каналом в виде тонкого приповерхностного слоя, который обычно изготовляют методами ионного легирования. Проводимость встроенного канала модулируется при обеих полярностях напряжения на затворе. Поскольку в таких транзисторах канал существует при нулевых напряжениях на затворе, величина порогового напряжения для них теряет смысл. Для транзисторов с встроенным каналом вместо порогового напряжения вводят параметр «напряжение отсечки». Это напряжение, при котором равновесные электроны уходят из встроенного канала, в результате чего цепь «исток – сток» разрывается. В дальнейшем рассматриваются только транзисторы с индуцированным *n*-каналом как наиболее распространенные.

Пороговое напряжение. Положительный потенциал затвора индуцирует в полупроводнике тем больший удельный заряд, чем больше удельная ёмкость между металлом затвора и полупроводником.

Следовательно, удельная ёмкость «затвор — полупроводник» определяет степень модуляции проводимости канала, т. е. управляющую способность затвора. Поэтому удельная ёмкость «затвор — полупроводник» является важнейшим параметром затвора и определяется выражением



$$C_{OX} = \varepsilon_{\Pi} \varepsilon_0 / d .$$

C целью повышения удельной емкости стремятся уменьшить толщину dподзатворного диэлектрика, что ограничено его пробоем. Типичные значения d = 0,1...0,15 мкм.

В исходном состоянии в подзатворном диэлектрике обычно присутствует равновесный заряд, приводящий к изгибу зон (рисунок 5.3, а). Поэтому пороговое напряжение можно разделить на две составляющие:

$$U_0 = U_{0F} + U_{0B}$$
.

Величина U_{0F} – напряжение спрямления зон, т. е. напряжение, которое нужно приложить к затвору для ликвидации исходного искривления зон (рисунок 5.3, δ):

$$U_{0F} = \varphi_0 + Q_{0S}/C_{0X},$$

где φ_0 – контактная разность потенциалов между металлом затвора и диэлектриком;

 Q_{0S} – равновесный удельный заряд поверхности.

На рисунке 5.3, a показано исходное искривление зон, противоположное тому, при котором образуется канал.

Величина U_{0B} – напряжение изгиба зон, т. е. напряжение, которое требуется приложить к затвору для изгиба зон в сторону, необходимую для образования проводящего канала (рисунок 5.3, θ):

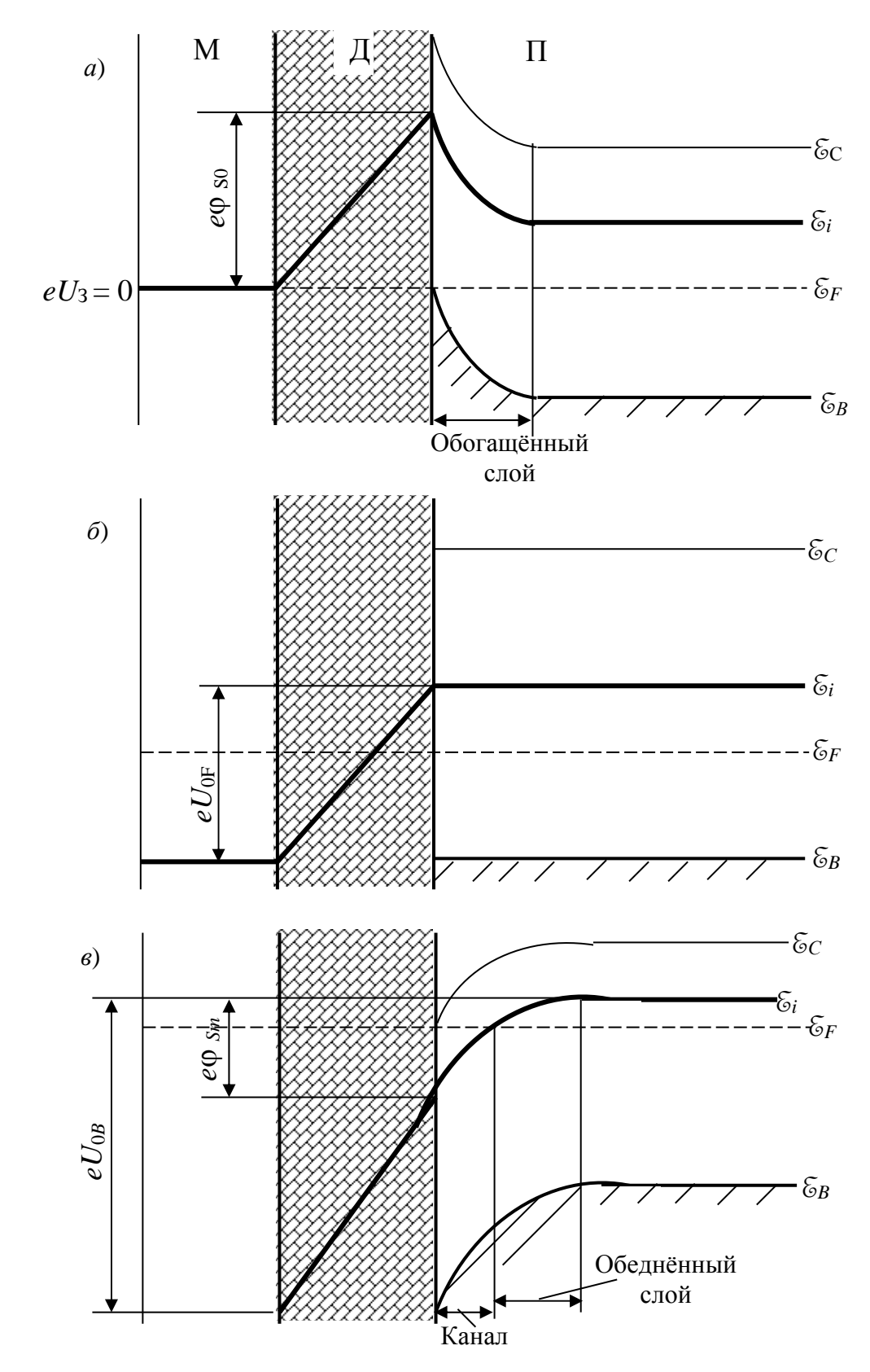
$$U_{0B} = \varphi_{0S} + \frac{a}{C_{OX}} \sqrt{\varphi_{Sm}} ,$$

где a — параметр, характеризующий влияние объемного заряда в подложке.

Из рисунка 5.3, ϵ видно, что для уменьшения значения величины U_{0B} , а следовательно, и порогового напряжения U_0 нужно уменьшать уровень легирования р-подложки. Действительно, с уменьшением концентрации акцепторов в подложке уровень \mathcal{E}_F (энергия Ферми) будет подниматься вверх, а расстояние между уровнями \mathcal{E}_I (середина запрещённой зоны) и \mathcal{E}_F – уменьшаться. Поэтому будет уменьшаться также напряжение U_{0B} , которое следует приложить для образования инверсного канала.

Когда на поверхности полупроводника сформировался инверсионный канал, величина концентрации неосновных носителей заряда (электронов) в инверсионных каналах равна концентрации основных носителей (дырок) в объёме полупроводника. При этом величина поверхностного потенциала $\psi_S = \mathcal{E}_C/e$ (\mathcal{E}_C – энергия низшего уровня зоны проводимости) равна $\mathcal{E}_C/e = 2\phi_{Sm}$, $(\phi_{Sm}$ – расстояние от середины запрещенной зоны до уровня Ферми в квазинейтральном объеме). Изменяя величину напряжения на затворе, можно менять концентрацию электронов в инверсионном канале, и тем самым модулировать его проводимость. При этом электроны в канале отделены от свободных носителей в объеме полупроводника областью пространственного заряда.

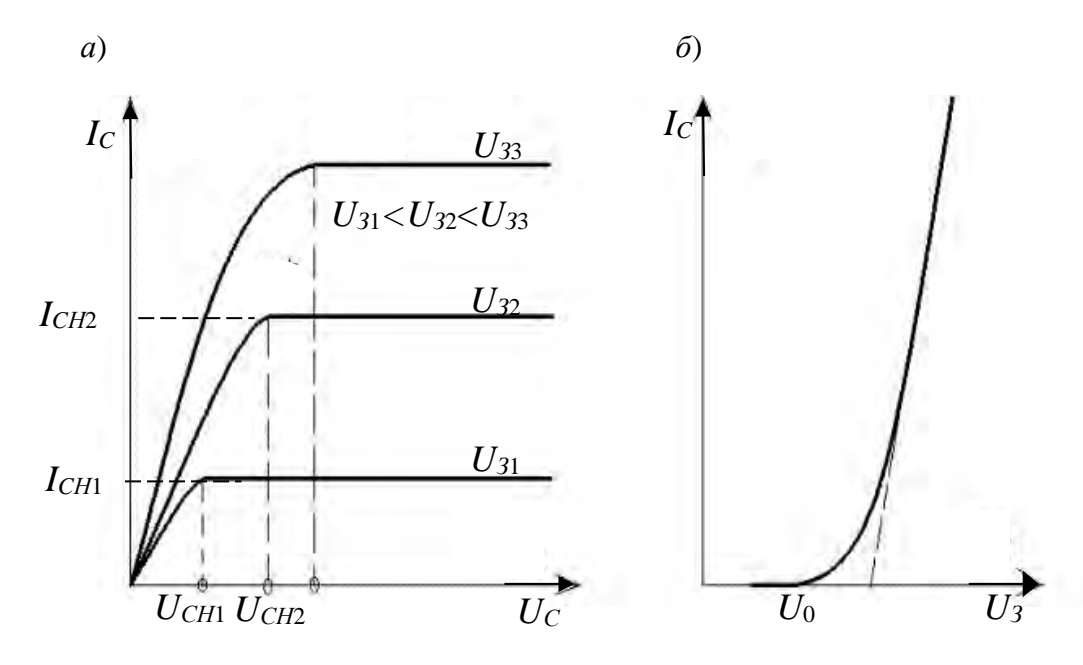




a — исходное состояние; δ — состояние после подачи напряжения спрямления зон U_{0F} ; ϵ — состояние после подачи напряжения изгиба зон U_{0B}

Рисунок 5.3 – Энергетические диаграммы МДП-транзистора

Статические характеристики. Соотношения между напряжениями и токами в МДП-транзисторах определяются с помощью выходных и передаточных характеристик (рисунок 5.4).



a – выходные; δ – передаточная

Рисунок 5.4 – Статические характеристики МДП-транзистора

На выходные ВАХ существенное влияние оказывают изменения в структуре канала, возникающие в результате токопрохождения. Если напряжения $U_U = U_C = 0$, то поле в диэлектрике однородное и толщина образовавшегося канала будет одинаковой на всем протяжении l (рисунок 5.5, a).

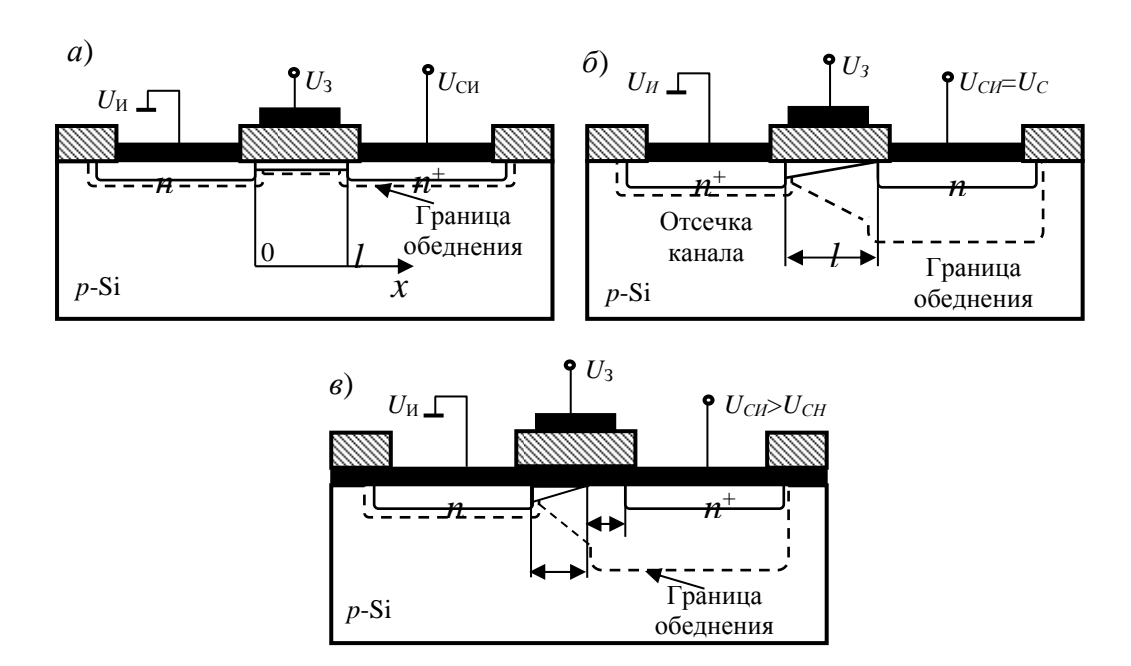
Если напряжение $U_{CH} > 0$ и не слишком велико, то канал проявляет себя как обычное сопротивление, при этом ток стока будет увеличиваться пропорционально напряжению стока. Эта область на выходных ВАХ называется линейной областью работы транзистора.

С увеличением напряжения U_{CU} будут возрастать ток стока и потенциал поверхности полупроводника в направлении от истока к стоку. Поэтому разность потенциалов между затвором и поверхностью полупроводника будет уменьшаться в направлении к стоку.

Соответственно, уменьшаются напряженность поля в диэлектрике и концентрация электронов в канале. В результате сечение канала начинает сужаться в направлении к стоку. По достижении напряжением на стоке значения, равного напряжению насыщения U_{CH} в точке x=l, становятся равными нулю разность потенциалов между затвором и поверхностью полупроводника, напряженность поля в диэлектрике и концентрация электронов. Поэтому толщина канала оказывается равной нулю (рисунок 5.5, δ). Эти условия соответствуют началу режима отсечки канала (образование «горловины» канала).







a – в линейном режиме (малые напряжения на стоке); δ – в начале насыщения (отсечка канала на границе со стоком); 6 - в режиме насыщения

Рисунок 5.5 – Структура канала и области объёмного заряда МДП-транзистора

Напряжение насыщения определяется выражением

$$U_{CH} = U_{3H} - U_0$$
.

> U_{CH} точка отсечки сдвигается к истоку и происходит При U_{CU} укорочение канала на величину Δl . При этом обеднённый слой обратносмещённого перехода «сток – подложка», который при $U_{CM} < U_{CH}$ отделялся от поверхности каналом, выходит на поверхность полупроводника на участке Δl (рисунок 5.5, в). Потенциал в точке x = l' сохраняет значение U_{CH} , которое было в начале насыщения. После отсечки канала ток стока практически перестает зависеть от потенциала стока. Эта область на выходных ВАХ называется областью насыщения тока стока. Насыщение тока стока объясняется следующим. В точке x = l' на острие канала концентрируется электрическое поле, напряженность которого $E > E_{\kappa p}$. В результате наступает режим насыщения скорости дрейфа электронов, инжектированных из острия канала в слой объемного заряда. Поэтому ток через канал $I_n = e \mu_n n E_{\kappa p}$ при $V_{\partial p} = \mu_n E_{\kappa p} = \text{const } \text{и } n = \text{const}$ перестает зависеть от напряжения.

Вывод аналитических выражений для выходных ВАХ. Ток в канале МДП-транзистора, изготовленного на подложке p-типа, обусловлен свободными электронами, концентрация которых n. Электрическое поле E_x обусловлено напряжением между стоком и истоком U_{CU} . Согласно закону Ома плотность тока канала

$$j(x, y, z) = en(y)\mu_n \frac{\partial U}{\partial x}, \qquad (5.1)$$

где e — заряд электрона;

 μ_{n} – подвижность электронов в канале;

n(y) — концентрация электронов в канале.

Проинтегрируем (5.1) по ширине b и глубине W_n канала. Тогда интеграл в левой части (5.1) дает полный ток канала I_C , а для правой получим

$$I_C = W_n \mu_n \frac{\partial U}{\partial x} \int_0^b en(y) dy . agen{5.2}$$

Величина под интегралом есть полный заряд электронов Q_e в канале на единицу площади. Тогда

$$I_C = W_n \mu_n Q_e \frac{\partial U}{\partial x}.$$
 (5.3)

Найдем величину заряда электронов Q_e . Запишем уравнение электронейтральности для зарядов на единицу площади в виде

$$Q_{M} = Q_{OX} + Q_{e} + Q_{A}. (5.4)$$

Согласно (5.4) заряд на металлическом электроде Q_M уравновешивается суммой зарядов на полупроводнике: свободных электронов Q_e , ионизованных доноров Q_A и встроенных зарядов в окисле Q_{OX} . На рисунке 5.6 приведена схема расположения этих зарядов. Из определения ёмкости следует, что полный заряд на металлической обкладке Q_M конденсатора

$$Q_{M} = C_{OX} U_{OX}. \tag{5.5}$$

где U_{OX} – падение напряжения на окисном слое;

 $C_{\it OX}$ – удельная ёмкость подзатворного диэлектрика.

Поскольку полное приложенное напряжение U_{3H} есть сумма падений напряжения в окисле U_{OX} и в полупроводнике U_{S} , то

$$U_{OX} = U_{3H} - \Delta \varphi_{Sm} - \psi_{S} - U(x), \tag{5.6}$$

где $\Delta \phi_{Sm}$ — разность работ выхода металл-полупроводник;

 ψ_S — величина поверхностного потенциала в равновесных условиях, т. е. при $U_{C\!M} = 0$.

Из (5.4)-(5.6) следует

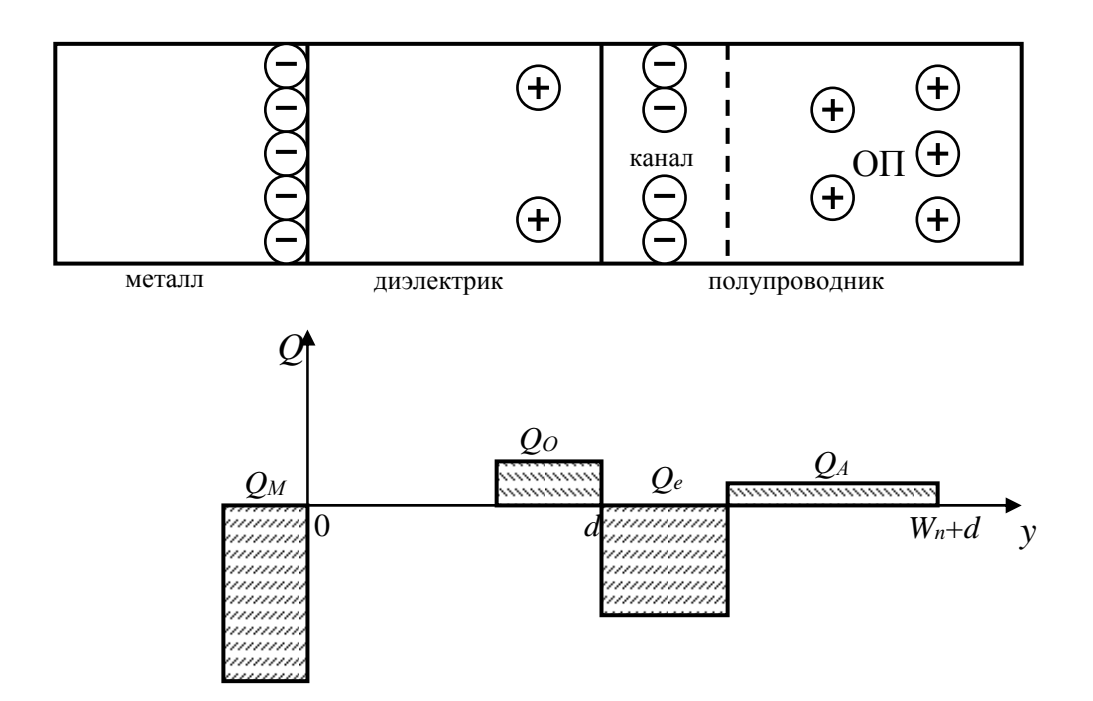
$$Q_{e} = C_{OX} \left(U_{3H} - \Delta \varphi_{Sm} - \psi_{S} - U(x) \right) - Q_{OX} - Q_{A} . \tag{5.7}$$

Поскольку в области сильной инверсии при значительном изменении U_{3M} величина ψ_S меняется слабо (условие плавного канала), будем в дальнейшем считать ее постоянной и равной потенциалу начала области сильной инверсии $\psi_S = 2\varphi_0$. Пороговое напряжение $U_0 = U_{3M} - U(x)$ как напряжение на затворе,



соответствующее открытию канала в равновесных условиях $Q_e (U_{CU} = 0) = 0$. Из (5.7) следует, что

$$U_0 = \Delta \phi_{Sm} + 2\phi_0 + \frac{Q_{OX}}{C_{OX}} + \frac{Q_A}{C_{OX}} . \tag{5.8}$$



 Q_A – заряд ионизованных доноров; Q_e – заряд свободных электронов; Q_{OX} – заряд, встроенный в окисле; Q_{M} – заряд на металлическом электроде

Рисунок 5.6 – Схема расположения зарядов в активной области МДП-транзистора

Тогда с учетом (5.8)

$$Q_e = C_{OX}[U_{3H} - U_0 - U(x)]. (5.9)$$

Подставляя (5.9) в (5.3) и проводя интегрирование вдоль канала, при изменении x от 0 до l, а U(x) от 0 до U_{CU} получаем

$$I_C = \frac{W_n}{l} \mu_n C_{OX} \left[(U_{3H} - U_0) U_{CH} - \frac{U_{CH}^2}{2} \right].$$
 (5.10)

Уравнение (5.10) описывает вольт-амперную характеристику полевого транзистора в области плавного канала. Как следует из (5.9), по мере роста $U_{\it CH}$ в канале может наступить такой момент, когда произойдет отсечка канала, т. е. $Q_e = 0$. Это соответствует условию

$$U(x) = U_{CH}^{sat} = U_{3H} - U_0. (5.11)$$

Напряжение на стоке U_{CU} , необходимое для смыкания канала вблизи стока, называется напряжением отсечки U_{CH}^{sat} (на рисунке 5.5, a, δ показаны состояния:



плавного и отсечённого каналов).

С ростом напряжения стока U_{CU} точка канала, соответствующая отсечке, сдвигается от стока к истоку. В первом приближении при этом на участке плавного канала от истока до точки отсечки падает одинаковое $U_{\it CH}^{\it sat} = U_{\it 3M} - U_{\it 0}$ напряжение, не зависящее от напряжения «исток – сток» U_{CU} . Поскольку эффективная длина канала l и $\Delta l = l - l' << l$, это обусловливает в первом приближении не зависящий от напряжения стока U_{CU} ток стока I_{C} . Подставив (5.11) в (5.10) вместо U_{CU} , получаем для области отсечки

$$I_C = m \frac{W}{l} \mu_n C_{OX} (U_{3H} - U_0)^2 = m S_0 (U_{3H} - U_0)^2 , \qquad (5.12)$$

где $m \approx 1/2$,

$$S_0 = \frac{W_n}{I} \mu_n C_{OX} = \frac{W_n}{I} \mu_n \frac{\varepsilon_0 \varepsilon_{II}}{d}.$$

Параметр S_0 называется удельной крутизной МДП-транзистора.

При приложении напряжения «канал – подложка» U_{bs} , расширяющего область пространственного заряда, меняется размер области ионизованных доноров. Из теории p-n-перехода следует, что величина заряда $Q_{\!\scriptscriptstyle A}$ при смещении «канал – подложка» U_{hs}

$$Q_A = \sqrt{2q\varepsilon_S \varepsilon_0 N_A \left(2\varphi_0 - U_{bs}\right)}. \tag{5.13}$$

Поскольку величина $Q_{\scriptscriptstyle A}$ входит в выражение для порогового напряжения U_0 , то изменение U_{bs} вызовет соответствующее изменение U_0 .

При этом

$$\Delta U_0 = \frac{\sqrt{2q\varepsilon_S \varepsilon_0 N_A}}{C_{OX}} \left(\sqrt{2\varphi_0 + U_{bs}} - \sqrt{2\varphi_0} \right). \tag{5.14}$$

Зная толщину окисла d_{OX} и примерное значение $N_{\!\scriptscriptstyle{A}}$ (с точностью до порядка), определяем фо:

$$\varphi_{_0} = \frac{kT}{q} \ln \frac{N_A}{n_i}, \tag{5.15}$$

где $n_i^2 = n \cdot p$;

n и p — концентрация электронов и дырок в канале соответственно.

Для германия $n_i = 2.4 \cdot 10^{13}$ см⁻³; для кремния $n_i = 1.45 \cdot 10^{10}$ см⁻³; для GaAs $n_i = 1.79 \cdot 10^6 \,\mathrm{cm}^{-3}$.

Зная угол наклона зависимости (5.14), можно рассчитать величину (уровень) легирующей примеси в подложке МДП-транзистора.



$$N_A = \frac{C_{OX}^2 \cdot \mathsf{tg}^2 \alpha}{2\varepsilon_S \varepsilon_0 q} , \qquad (5.16)$$

где
$$tg\alpha = \frac{\partial (\Delta U_0)}{\partial (\sqrt{2\phi_0 + U_{bs}} - \sqrt{2\phi_0})}.$$

5.2 Описание лабораторной установки

Схема лабораторной установки приведена на рисунке 5.7.

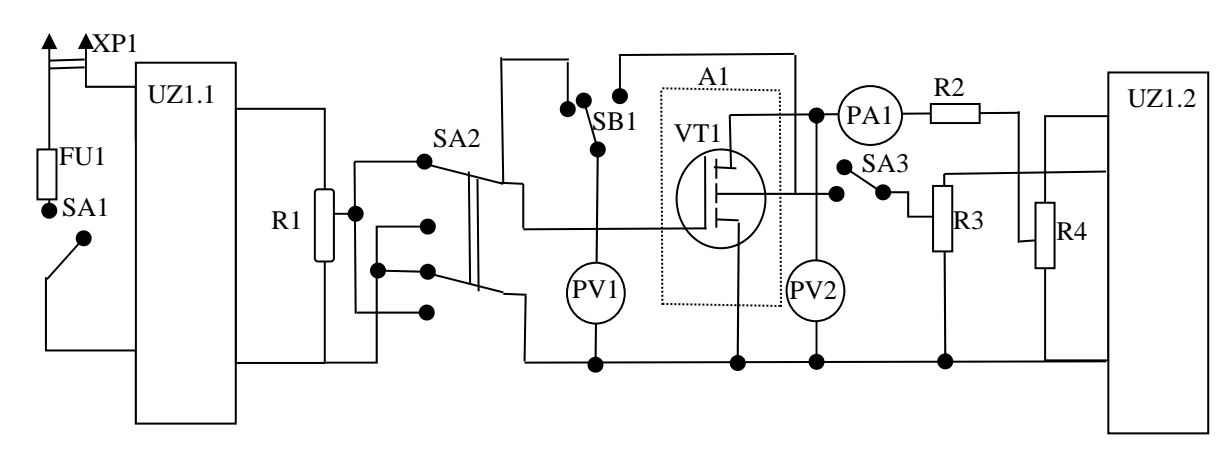


Рисунок 5.7 – Схема лабораторной установки

Регулировка напряжений U_{3U} , U_{CU} и U_{bs} осуществляется ручками потенциометров, смонтированных на панели, R_1 , R_4 и R_3 соответственно. Кнопочный выключатель SB1 управляет измерением напряжения на затворе U_{3U} или подложке U_{bs} (в нажатом состоянии на подложке). Тумблер SA1 подключает стенд к сети, SA2 меняет полярность U_{3U} , SA3 подключает подложку к источнику.



5.3 Порядок выполнения работы

1 Схема для снятия статических характеристик МДП-транзистора реализована в корпусе стенда. Исследуемый транзистор с изолированным затвором КП301Б находится в блоке A1, подключенном к стенду.

Внимание! Во избежание пробоя статическим электричеством подзатворного диэлектрика запрещается прикасаться к выводам затвора руками без предварительного заземления затворной цепи.

2 Снять семейство $I_{\rm C} = f(U_{CH})$ при изменении напряжения на стоке от 0 до 12 В через 1 В в крутой части и через 2 В в пологой части вольт-амперной характеристики. Устанавливаемое напряжение на затворе составляет: -5, -7, -10, -12 В.

Результаты измерений занести в таблицу 5.1. Построить график зависимости I_C = $\mathrm{f}(U_{C\!H})$ и определить из графика напряжение отсечки $U_{C\!H}^{}$.

Таблица	5.1 -	- 3a	висимость	тока	стока	ОТ	напряжения	«сток	_	исток»	при
фиксированном	м напр	яжені	ии на затвоі	oe -							

U_{3U} , B	U_{CU} , B	0	1	2	3	4	6	8	10	12
5	Ic, mA									
7	Ic, mA									
10	Ic, mA									
12	Ic, mA									

- 3 Снять семейство переходных характеристик МДП-транзистора $I_{C} = f(U_{3H})$ при различных значениях напряжения «сток – исток». Величину напряжения на затворе изменять в диапазоне от -1 до -12 B через 1 B.
- 3.1 Выставить напряжение на стоке $U_{CH} = -0.1$ В и снять $I_C = f(U_{3H})$ в области плавного канала.
- 3.2 Последовательно выставляя $U_{CH} = -5$ и -10 B, снять характеристики МДП-транзистора в области отсечки.

 Π ри проведении измерений учесть, что увеличение тока I_{CM} оказывает влияние на U_{CH} , поэтому в области отсечки U_{CH} необходимо контролировать при каждом измерении.

Занести результаты измерений в таблицу 5.2, построить графики $I_C = f(U_{3H}).$

Таблица 5.2 – Зависимость тока стока от напряжения на затворе при различных значениях напряжения «сток – исток»

U_{CU} , B	<i>U</i> _{3И} , В	0	1	2	3	4	5	6	7	8	9	10	11	12
-0,1	Іси, мА													
-5	Іси, мА													
-10	Іси, мА													

По формулам (5.10) и (5.12) рассчитать значения порогового напряжения U_0 и подвижности дырок μ_n . Для этого на графике зависимости $I_C = f(U_{3u})$ в области плавного канала проэкстраполировать прямолинейный участок зависимости к значению $I_C = 0$. Значение U_0 при этом, как следует из формулы (5.11), будет $U_0 = U_{3H} - U_{CH}/2$. Величина подвижности μ_n определить из тангенсов угла наклона зависимости $I_C = f(U_{CU})$ и $I_C = f(U_{3U})$.

Необходимые для расчета параметры транзистора КП301Б $W_n = 100$ мкм, l = 20 MKM, $d_{OX} = 100$ HM, $ε_s = 11.8$, $ε_{OX} = 3.82$, $φ_0 = 0.3$ B, $ε_0 = 8.85 \cdot 10^{-12}$ Φ/M.

4 Вывести все потенциометры в минимальное положение. Подать тумблером SA3 на подложку напряжение смещения U_{bs} , противоположное по полярности напряжению стока U_{CM} . Снять семейство характеристик $I_C = f(U_{3M})$ в области *плавного канала* ($U_{\it CU}=-0.1$ В) при различных $U_{\it bs}$. Результаты занести в таблицу 5.3.



Таблица 5.3 – Зависимость тока стока от напряжения на затворе при различных значениях напряжения смещения

U_{bs} , B	<i>U</i> _{3<i>U</i>} , B	0	1	2	3	4	5	6	7	8	9	10	11	12
0	Іси, мА													
1	Іси, мА													
4	Іси, мА													
9	Іси, мА													
12	Іси, мА													

Построить графики зависимости $I_C = f(U_{3 {\it U}})$ при различных значениях U_{bs} и определить по формуле (5.11) значения порогового напряжения U_0 . Построить график зависимости

$$\Delta U_0 = U_0(U_{bs}) - U_0(U_{bs} = 0) = f(\sqrt{2\varphi_0 + U_{bs}} - \sqrt{2\varphi_0})$$

по (5.15) и (5.16) рассчитать величину N_A и сравнить теоретическое и практическое значения уровня легирования подложки.

Отчет о работе должен содержать:

- схему для снятия характеристик МДП-транзистора;
- таблицы результатов измерений;
- графики переходных $I_C = f(U_{3H})$ и проходных $I_C = f(U_{CH})$ характеристик МДП-транзистора, графики зависимости $I_C = f(U_{3H})$ при различных напряжениях U_{bs} , $\Delta U_0 = f\left(\sqrt{2\phi_0 + U_{bs}} \sqrt{2\phi_0}\right)$;
- найденные из графика $I_C = f(U_{CM})$ значения напряжения отсечки и сравнение их с расчетными по (5.11);
- рассчитанные значения порогового напряжения U_0 , подвижности электронов μ_n и уровня легирования подложки N_A .

Контрольные вопросы

- 1 В чем состоит физический принцип работы полевого МДП-транзистора?
- 2 Дать определение основных структур, топологических и электрофизических параметров МДП-транзисторов.
- 3 Почему в области отсечки ток стока I_{C} не зависит от напряжения на стоке U_{CU} ?
- 4 Чем объяснить влияние напряжения подложки U_{bs} на характеристики МДП-транзистора?
- 5 Каким образом из экспериментальных характеристик транзистора можно определить его электрофизические параметры?

Список литературы

- **Марголин, В. И.** Физические основы микроэлектроники : учебник для втузов / В. И. Марголин, В. А. Жабреев, В. А. Тупик. Москва : Академия, 2008. 400 с.
- **Гуртов, В. К.** Твердотельная электроника : учебное пособие / В. К. Гуртов. 2-е изд., доп. Москва : Мир техносферы, 2005. 408 с.
- **Пасынков, В. В.** Полупроводниковые приборы : учебное пособие / В. В. Пасынков, Л. К. Чиркин. 8-е изд., испр. Москва : Лань, 2006. 480 с.
- **Валенко, В. С.** Полупроводниковые приборы и основы схемотехники электронных устройств / В. С. Валенко ; под ред. А. А. Ровдо. Москва : Додэка-XXI, 2001. 366 с.
- **Епифанов**, **Г. И.** Физика твердого тела : учебное пособие для втузов / Г. И. Епифанов. 2-е изд., перераб. и доп. Москва : Высшая школа, 1977. 288 c.
- **Нахалов, В. А.** Электронные твердотельные приборы : учебное пособие в 2 ч. / В. А. Нахалов. Хабаровск : ДВГУПС, 2006. Ч. 1. 68 с.
- **Митрофанов, О. В.** Физические основы функционирования изделий микроэлектроники : учебное пособие / О. В. Митрофанов, Б. М. Симонов, Л. А. Коледов. Москва : Высшая школа, 1987. –168 с.

